

z.nourbakhsh@ph.iut.ac.ir :

(دریافت مقاله: ۱۳۹۱/۹/۲۶؛ دریافت نسخه نهایی: ۱۳۹۲/۴/۵)

۳۰Mev

: نظریه تابعی چگالی، ساختارهای بی‌نظم، جایگزیدگی، سیلیکون، گاف، انرژی، چگالی حالت‌ها.

(QC) در نانو بلورهای سیلیکون که در پوشش a-Si:H قرار گرفته‌اند، به صورت نظری پیش‌بینی شده و در آزمایش‌های a-Si:H تجربی دیده شده است [۴-۲]. به عبارتی پوشش H می‌تواند مانند یک سد برای حاملین بار سیلیکون (حفره‌ها در نوار ظرفیت و الکترون‌ها در نوار رسانش) عمل کند، و تحرک حاملین بار را کاهش دهد، و بنابراین زمان لازم برای ذخیره حاملین بار قبل از واهلش و ایجاد گرمای فراهم کند. این خاصیت، این مواد را در رده نسل سوم سلول‌های خورشیدی [۱] (و همچنین نسل جدید حافظه‌های کامپیوتی [۵]) با قابلیت ساخت با کارآیی بالا و هزینه کم قرار داده است.

با توجه به نیاز رو به رشد بشر به انرژی، و کافی نبودن و همچنین آلودگی‌های ناشی از سوخت‌های فسیلی یافتن منابع جدید انرژی از جمله مسائل مهم بشر در قرن حاضر است. خورشید از مهم‌ترین منابع انرژی پاک و تجدیدپذیر است که به سادگی در دسترس اکثر مردم جهان قرار دارد؛ بر این اساس مطالعه و بررسی سلول‌های خورشیدی مورد توجه فراوان است.

از آنجا که گاف انرژی در H (ساختار بی‌نظم سیلیکون)،  $1.9\text{eV}$ - $1.5\text{eV}$ ، بیش از Si (ساختار بلوری سیلیکون)،  $1.1\text{eV}$ ، است [۱]؛ خاصیت مهم حصر کوانتمی<sup>۱</sup>

<sup>۱</sup>. quantum confinement

$$P_i^{(j)} = \sum_{p=1}^N \sum_{q=1}^L \sum_{l=1}^L a_{pq} a_{il}^{*(j)} S_{pq,il} \quad (1)$$

$$S_{pq,il} = \langle \phi_q(r-R_p) | \phi_l(r-R_i) \rangle$$

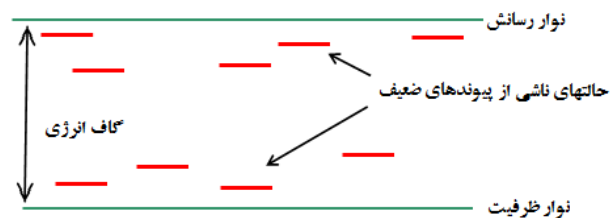
که ماتریس  $S$  برهم‌نگی پایه‌های تابع موج را نشان می‌دهد. رابطه (۱)، می‌تواند بیانی از میزان جایگزینی اثری  $E_j$  در اتم  $i$  باشد، برای روشن شدن مطلب، این رابطه را در دو حد غیر جایگزین و جایگزینه بررسی می‌کنیم. در حدی که تابع جایگزینه و جایگزینه توزیع شده است

(کمترین جایگزینی)، این مقدار برابر با  $\frac{1}{N}$ ، و در حدی که تابع موج تنها روی یک اتم، اتم شماره  $k$  جایگزینه است (بیشترین جایگزینی)، این مقدار برابر با  $P_i^{(j)} = \delta_{i,k}$  است. بر این اساس آن رابطه زیر را به عنوان معیاری از تعداد اتم‌هایی که اثری  $E_j$  در آنها گستردۀ شده، معرفی کرد

$$N(E_j) = \left( \sum_{i=1}^N \left( P_i^{(j)} \right)^2 \right)^{-1}. \quad (2)$$

شکل ۲،  $N(E)$  را برای ساختار  $1000$  اتمی a-Si در نزدیکی سطح فرمی و گاف اثری نشان می‌دهد. تابع  $N(E)$  با عکس جایگزینی متناسب است، در حالت‌هایی با جایگزینی بیشتر، جایگزینی بزرگ در اطراف حالت‌های HOMO<sup>۱</sup> (بالاترین اوربیتال پرشده) و LUMO<sup>۲</sup> (پایین‌ترین اوربیتال خالی) است. هدف ما از بین بردن حالت‌های جایگزینه ( $N(E)$  کوچک)، با حذف اتم‌هایی با پیوند ضعیف از ترکیب Si a-Si است.

گاف اثری با معنا در ساختار بی‌نظم سیلیکون تنها در صورتی قابل مشاهده است که پراکندگی زاویه‌ای و فضایی اتم‌ها نسبت به ساختار منظم کوچک باشد. بر این اساس برای تولید حالت بی‌نظم، از مدل کامپیوتری WWW استفاده کردیم [۷]. در یافتن اتم‌های جایگزینه از رابطه (۱) استفاده شده است، و پس از حذف هر اتم Si با توجه به همارایی چهارگانه در شبکه الماسی، <sup>۴</sup> اتم



شکل ۱. اثر پیوندهای ضعیف در کاهش گاف نواری در a-Si

بررسی و مطالعه ساختار a-Si<sup>۳</sup> به عنوان نقطه آغاز مطالعه نانوساختارهای H : nc-Si/a-Si که در آن نانوبلور سیلیکون در میان حالت بی‌نظم محصور شده، حائز اهمیت است؛ ضمن اینکه لایه‌های نازک a-Si در نسل دوم سلول‌های خورشیدی نیز مورد استفاده است. مقالات زیادی به این مطالعه پرداخته‌اند، در این مقاله بر پایه نظریه تابعی چگالی (DFT) با استفاده از بسته محاسباتی سیستا [۶] (Siesta) به بررسی اثر جایگزینی در کاهش گاف نواری و افزایش گاف با حذف اتم‌های جایگزینه می‌پردازیم.

به دلیل عدم وجود نظم بلندبرد بلوری در a-Si، گاف نواری اثری در آن چندان خوش تعریف نیست؛ پیوندهای ضعیف بین اتم‌های Si موجب جایگزینی شدن الکترون‌های پیوندی در مکان اتم مربوطه می‌شوند. مطابق شکل ۱، این پیوندهای ضعیف منجر به ایجاد حالت‌هایی در دنباله نوار اثری و کاهش گاف مؤثر در a-Si است. هدف ما یافتن اتم‌های سیلیکون با پیوند ضعیف (که عامل ایجاد حالت‌های جایگزینه‌اند)، حذف این اتم‌ها و اضافه کردن هیدروژن به منظور حذف پیوندهای آویزان است که در نهایت منجر به افزایش گاف اثری و یافتن QC در اندازه‌های بزرگ‌تر است که نوید بخش ساخت سلول‌های خورشیدی با بازدهی بالاتر می‌باشد.

برای یافتن جایگزینی حالت‌های اثری از رابطه‌ای که توسط آن و همکاران به این منظور معرفی شده، استفاده کرده‌ایم [۴]. اگر بسط تابع موج کان-شم در دستگاه  $N$  اتمی، که هر اتم در مکان  $i$  قرار گرفته است، بر حسب پایه‌های  $L$  بعدی،  $\Psi_i^j(r) = \sum_{i=1}^N \sum_{l=1}^L a_{il}^{*(j)} \phi_l(r-R_i)$ .

احتمال یافتن الکtron در اتم شماره  $i$  با اثری  $j$  برابر است با

<sup>۱</sup>. highest occupied molecular orbital.

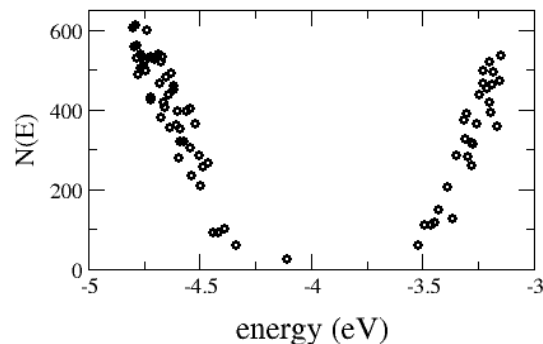
<sup>۲</sup>. lowest unoccupied molecular orbital.

اتم‌های هیدروژن نسبت به سیلیسیم، واهلش مکان اتم‌ها، تنها برای اتم‌های H اعمال شده است و مکان اتم‌های Si مانند حالت ۲ می‌باشد (به غیر از ۴ اتم Si حذف شده) در حالت (۲-b) واهلش برای تمامی اتم‌ها اعمال شده است. لازم به ذکر است تغليظ بيش از ۰.۸٪ تا ۱.۰٪ سيليكون با هيدروژن از لحاظ عملی امكان پذير نمي باشد [۱۰].

در شکل ۳، گاف انرژی در نمودار (۱-a)، برابر با  $0.83\text{ eV}$  است، پس از واهلش مکان اتم‌ها، گاف در نمودار (۱-b)، به  $0.71\text{ eV}$  کاهش پیدا می‌کند. پس از حذف ۰.۲٪ از اتم‌های جایگزیده و اضافه کردن اتم‌های H جهت اشباع پيوندهای آويزان، در نمودار (۲-a) که واهلش تنها برای اتم‌های H، انجام گرفته است، گاف انرژی برابر با  $0.86\text{ eV}$  است؛ با واهلش مکان تمامی اتم‌ها (نمودار (۲-b)) اين ميزان به  $0.95\text{ eV}$  افزایش می‌يابد. مقاييسه گاف در نمودارهای (۱-a) و (۱-b)، و همچنين نمودارهای (۱-a) و (۱-b)، اهميت واهلش مکان اتم‌های Si را نشان می‌دهد.

كمتر بودن گاف انرژی محاسبه شده از DFT نسبت به تجربه مشکل آشنای نظرية تابعی چگالی است؛ گاف به دست آمده در ساختارهای بی نظم به اندازه شبکه، روش ساخت، كيفيت و موارد ديگر نيز بستگي دارد كميتی که اينجا برای ما مهم است، ميزان افزایش گاف پس از حذف اتم‌های جایگزیده a-Si و اضافه کردن H است. اين مقدار در شبکه  $200$  اتمی a-Si برابر است با  $24.0\text{ Mev}$  یا به عبارتی  $20\text{ Mev}$  در ازاي هر درصد هيدروژن اضافه شده، که تطابق بسيار خوبی با مقدار به دست آمده از نظرية تنگابست ( $24\text{ Mev}$ ) دارد، اما مقدار تجربی اين كميت برابر با  $12.7\text{ Mev}$  است [۸]. علت بيشر بودن تغييرات گاف در نتایج نظری نسبت به داده‌های تجربی، بخت كمتر در يافتن مناسب‌ترین اتم‌های Si جهت حذف و نشاندن هيدروژن در بهترین مکان‌ها در آزمایشگاه است، که با پيشرفت روش‌های ساخت ساختارهای بی نظم و هيدروژن‌دار کردن نمونه، امكان افزایش اين مقدار در نتایج تجربی وجود دارد.

به مظور اطمینان از صحت نتایج در شبکه‌های

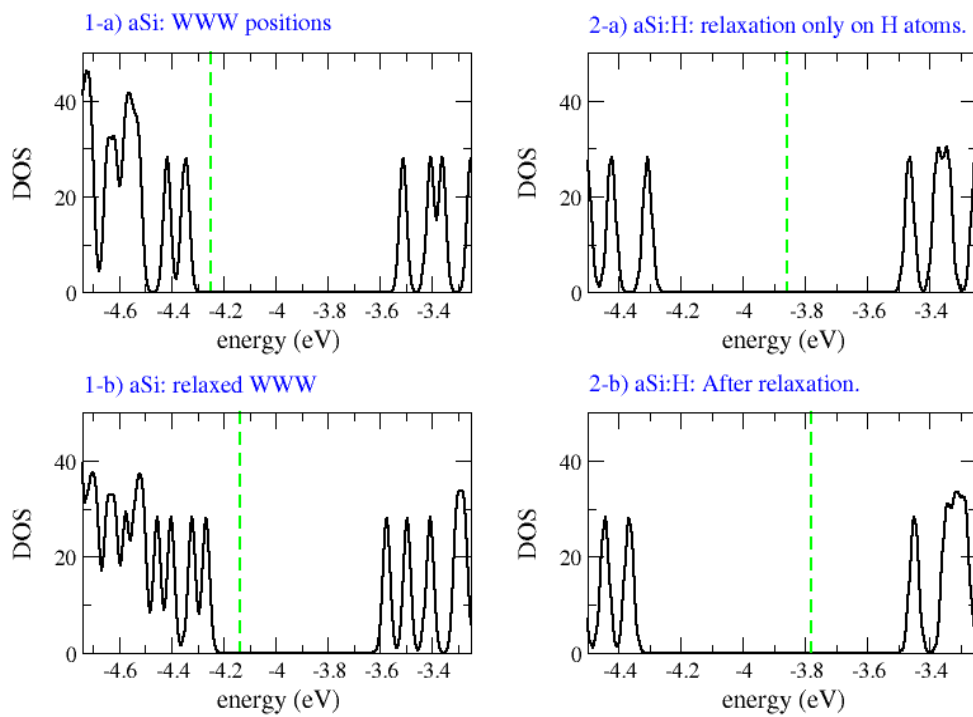


شکل ۲. جایگزیدگی حالت‌های انرژی طبق معیار آن در نزدیکی سطح فرمی در ابریاخته a-Si  $1000$  اتمی.

H، در راستای پيوندهای آويزان اضافه می‌شود. اين محاسبه پيشتر با استفاده از نظرية تنگابست<sup>۱</sup> انجام شده است [۲ و ۴]، اما كار حاضر از اين لحاظ حائز اهميت است که با توجه به كوتاه‌برد بودن نيروها در روش WWW، نياز به حذف نيروهای بلندبرد بين اتمی (واهلش مکان اتم‌ها) موجود در ابریاخته داريم که كدهای كامپيوتری تحت DFT اين امكان را برای ما فراهم می‌کنند. اما در كارهای انجام شده با نظرية تنگابست اتم‌های Si با پيوند ضعيف از ساختار WWW حذف می‌شوند و سپس پيوندهای آويزان شبکه با اتم‌های H که در راستای پيوندهای حذف شده و در فاصله تجربی  $1.053\text{ \AA}$  قرار می‌گيرند، اشباع می‌شوند [۴]. با استفاده از DFT ما قادر به حذف نيروهای بين اتمی در ساختار a-Si هستيم و پس از اين مرحله اقدام به حذف اتم‌ها با پيوند ضعيف از ساختار واهليه a-Si و جايگزين کردن اتم‌های H و مجدداً يافتن حالت تعادل اتم‌ها (واهلش مکان اتم‌ها) می‌کنيم.

در شکل ۳، نمودار چگالی حالت‌ها برای ساختار  $200$  اتمی a-Si در چهار حالت آمده است: نمودارهای (۱-a) و (۱-b) به ترتيب چگالی حالت‌های ساختار a-Si قبل و بعد از واهلش مکان اتم‌ها را نشان می‌دهد. نمودارهای ۲، اين ساختار را پس از حذف ۰.۲٪ از اتم‌های Si با جايگزیدگی بيشهنه (۴ اتم Si در شبکه  $200$  اتمی) و اضافه کردن  $16$  اتم هيدروژن (اعمال  $0.8\%$  اتم H) نشان می‌دهد. در نمودار (۲-a) با توجه به سبک‌تر بودن

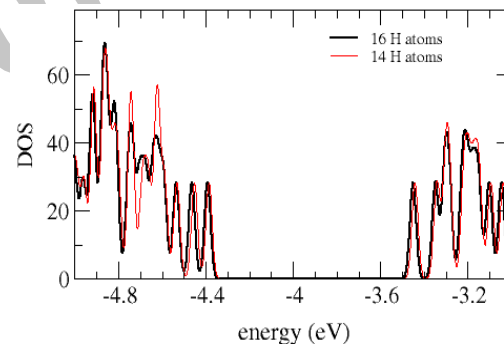
۱. Tight-binding



شکل ۳. اثر اضافه کردن هیدروژن و واهش مکان اتم‌ها در باز کردن گاف انرژی. (۱-a) و (۱-b) قبل از افزودن هیدروژن، (۲-a) و (۲-b) پس از افزودن هیدروژن.

مسئله دیگری که از لحاظ تجربی نیز مورد توجه فراوان قرار گرفته است، امکان ایجاد مولکول  $H_2$  در نمونه است [۹]. در اینجا ما اثر ایجاد مولکول هیدروژن در حالتی که اتم‌های جایگزینه حذف شده Si با یکدیگر همسایه هستند را مورد بررسی قرار داده‌ایم. در این حالت با حذف ۲ اتم Si همسایه، تنها ۶ اتم هیدروژن جهت اشباع پیوندهای آویزان کافی است. در این حالت ما اثر اضافه کردن ۸ اتم H، و ایجاد مولکول  $H_2$  در حفره ایجاد شده از حذف ۲ اتم Si را بررسی کردیم. همان طور که گاف انرژی نمایش داده شده در شکل ۴ نشان می‌دهد، ملاحظه می‌کنیم که مولکول  $H_2$  اثری در افزایش گاف انرژی یا تغییر ساختار الکترونی در نزدیکی سطح فرمی ندارد، و نگرانی از بابت اثر مولکول‌های هیدروژن در سیستم وجود ندارد.

در این مقاله با استفاده از نظریه تابعی چگالی به محاسبه و بررسی جایگزینه در نانوساختارهای بی‌نظم سیلیکون، با



شکل ۴. (رنگی در نسخه الکترونیکی) اثر مولکول  $H_2$  در ساختار الکترونی در نزدیکی گاف انرژی و سطح فرمی: سیاه (قرمز) چگالی حالتها با (بدون) حضور مولکول  $H_2$  در نمونه.

بزرگ‌تر، ما اقدام به محاسبه گاف انرژی در ساختار ۱۰۰۰ اتمی a-Si کردیم، پس از اعمال واهش، گاف انرژی این سیستم برابر با  $0.59\text{ eV}$  به دست آمد، و پس از حذف  $2\%$  از اتم‌های جایگزینه و اعمال  $8\%$  هیدروژن در شبکه، این گاف برابر با  $0.85\text{ eV}$  حاصل شد، که افزایش  $22\text{ MeV}$  را در ازای اضافه کردن هر درصد H نشان می‌دهد، که با مقدار نتیجه شده در شبکه  $200$  اتمی سازگار است.

در افزایش گاف نشان داده شد. میزان افزایش گاف انرژی در ازای هر درصد هیدروژن اضافه شده  $\sim 30$  Mev است که با نتایج حاصله از سایر روش‌ها مطابقت دارد.

هدف افزایش گاف این ماده پرداختیم. با یافتن اتم‌ها با پیوند ضعیف و حذف این اتم‌ها از ماده موفق به افزایش گاف در این ساختار شدیم. در این بررسی اهمیت اعمال واهلش مکان اتم‌ها

7. F Wooten, K Winer, and D Weaire, *Phys. Rev. Lett.* **54** (1985) 1392.
8. G Kaniadakis, “Properties of Amorphous Silicon,” INSPEC, London (1989).
9. T Su *et al.*, *Journal of Non-Crystalline Solids* **266** (2000) 195.
10. M Stovola, “Hydrogenated Diffusion, and Solubility in c-Si”, INSPEC, London (1999).

1. R A Street, “Hydrogenated Amorphous Silicon,” Cambridge University Press (1991).
2. L Bagolini *et al.*, *Phys. Rev. Lett.* **104** (2010) 176803.
3. A Kalkan *et al.*, *Appl. Phys. Lett.* **77** (2000) 55.
4. G Allan *et al.*, *Phys. Rev. B* **57** (1997) 6933.
5. S Tiwari *et al.*, *Appl. Phys. Lett.* **68** (1996) 1377.
6. <http://icmab.cat/leem/siesta/>.